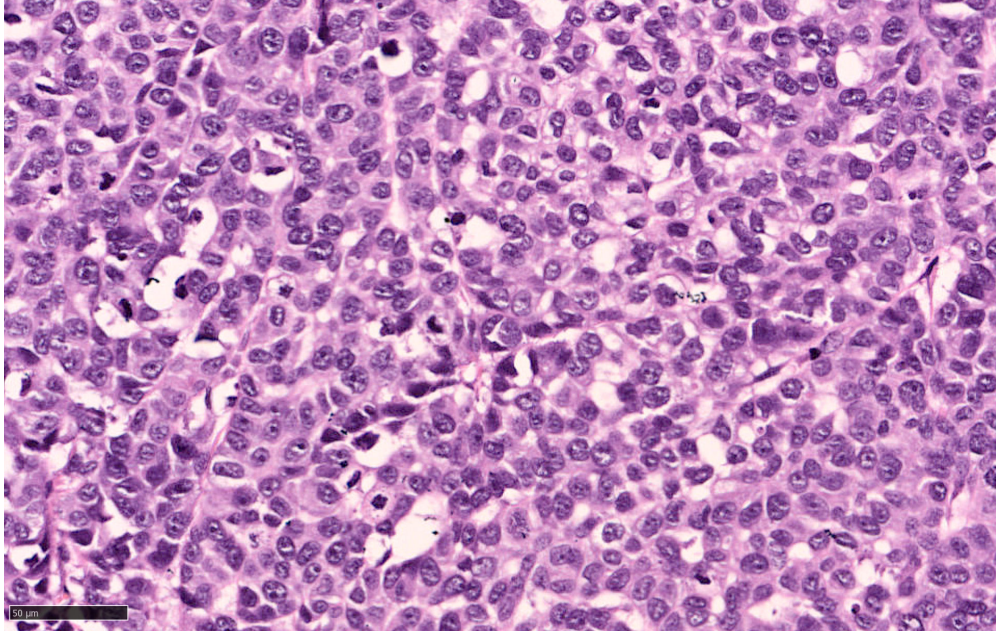
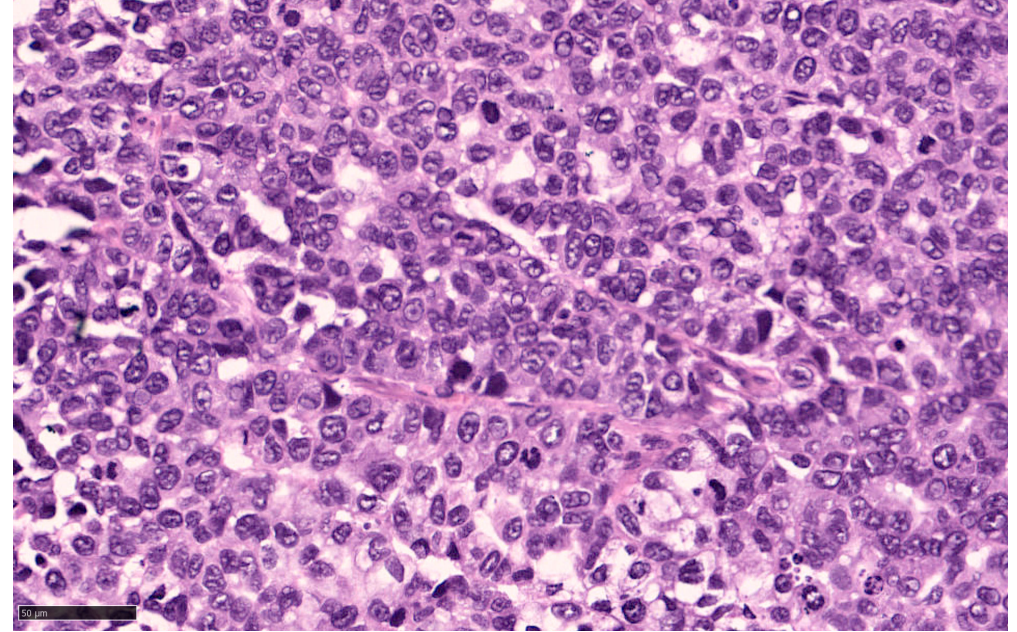


Figure 4E HE staining of SGC-7901 cell xenografts

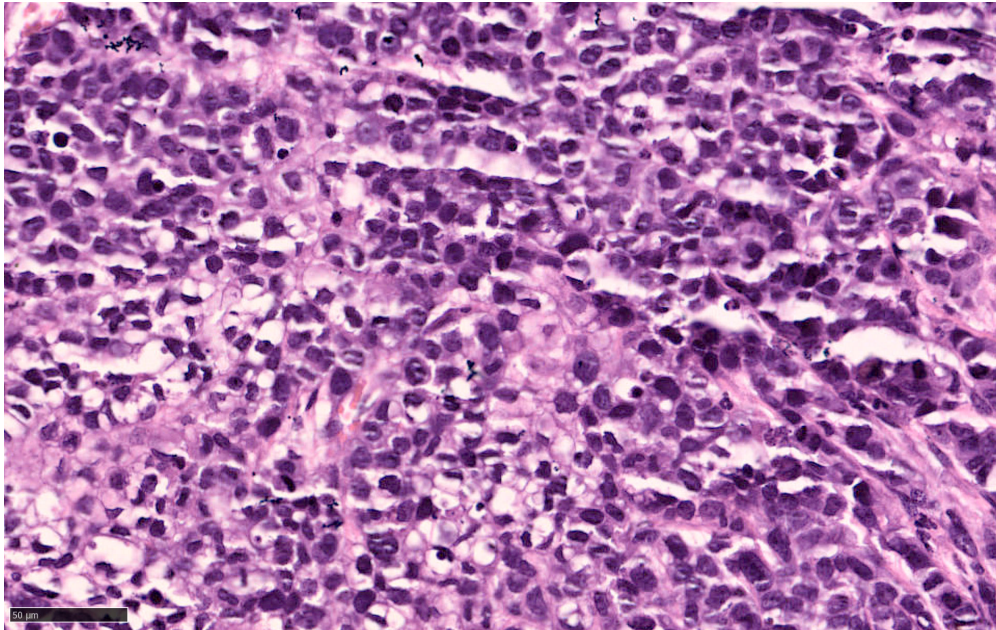
Ctrl



BI



5-FU



BI+5-FU

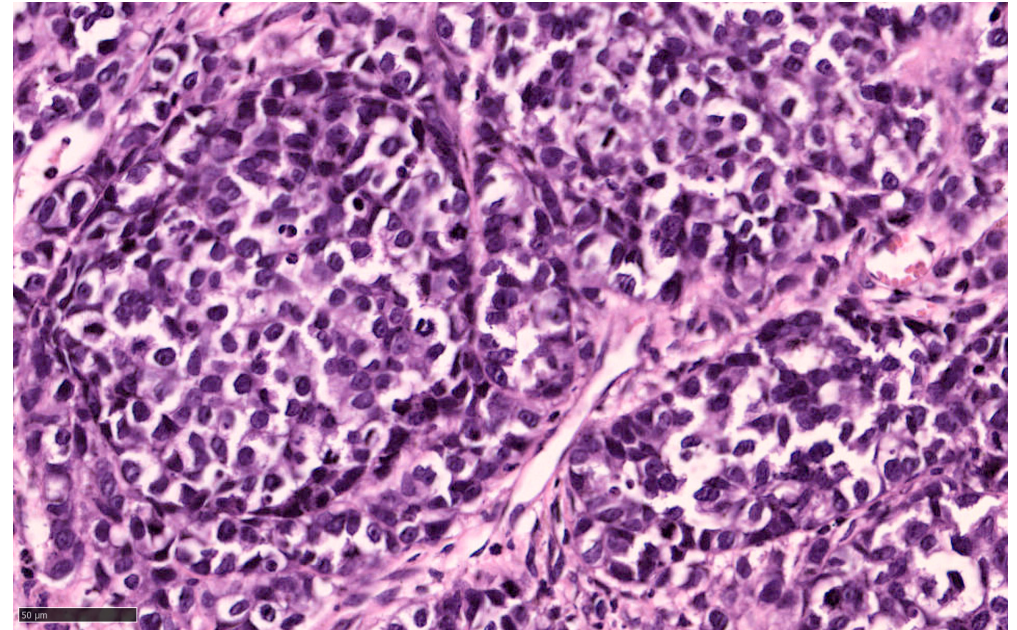
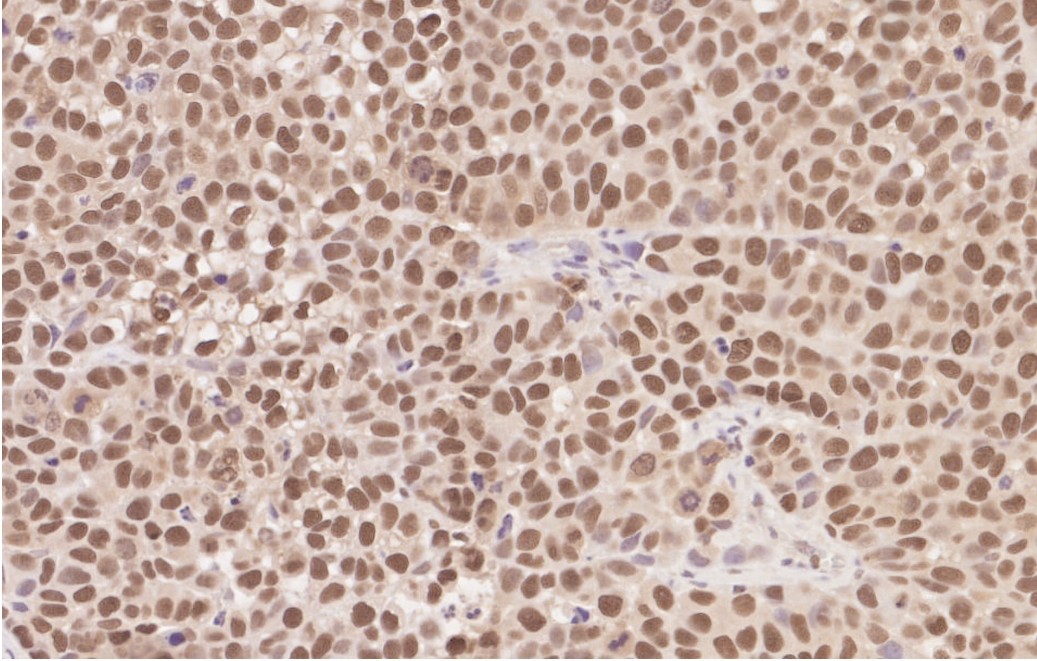
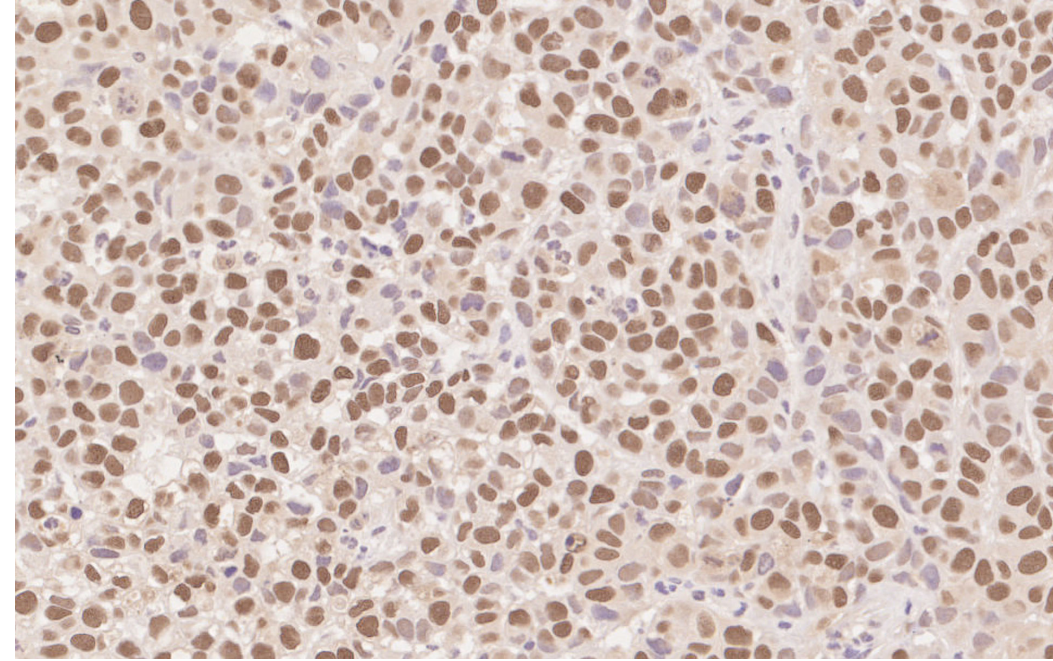


Figure 5A The expression of PCNA was detected in xenografts by IHC

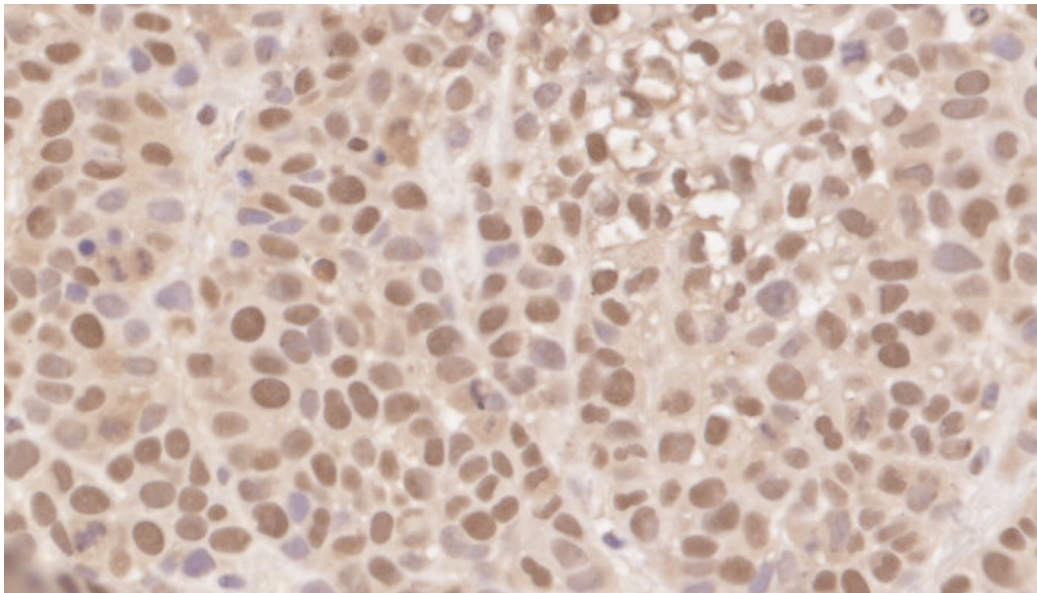
Ctrl



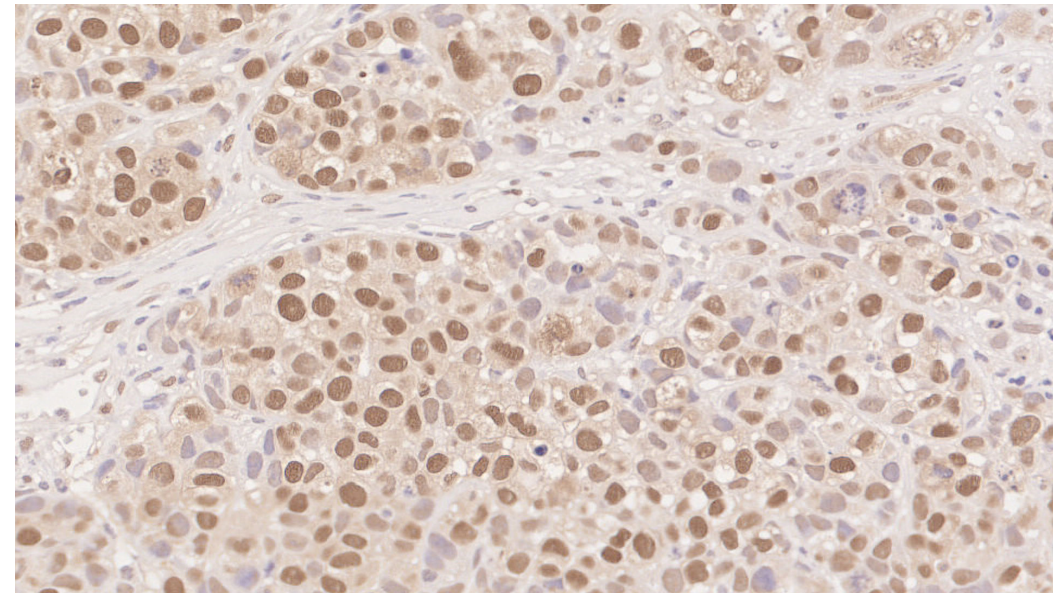
BI



5-FU



BI+5-FU

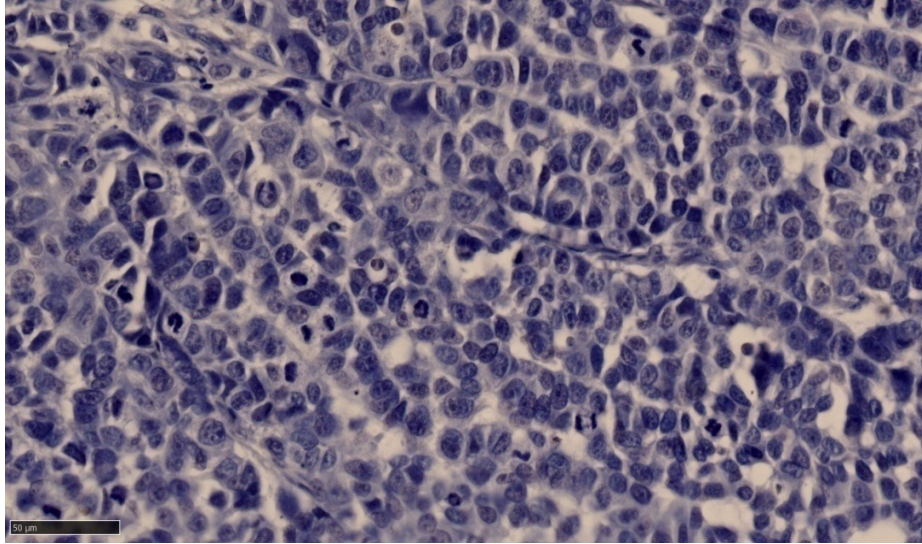


PCNA

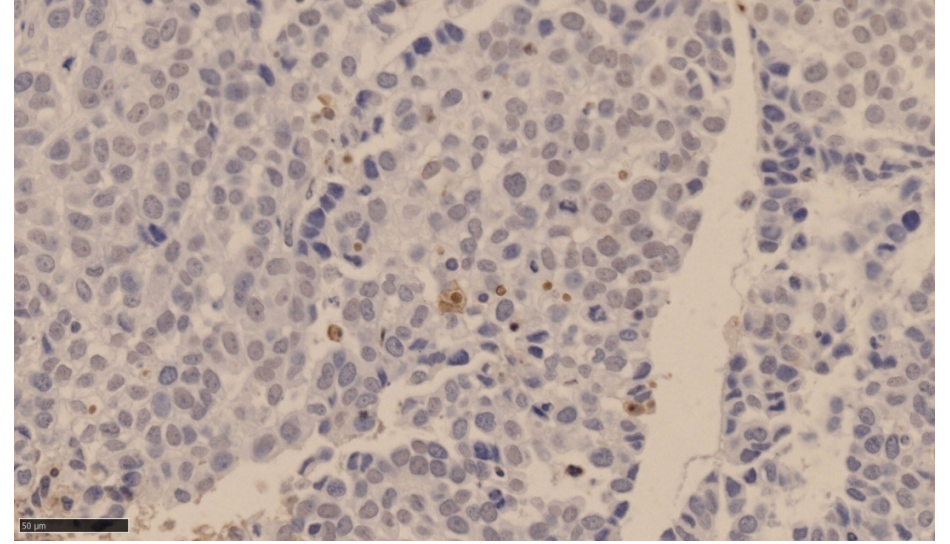
0	BI	5-FU	BI+5-FU	
302.0	215.0	201.0	124.0	
393.0	219.0	211.0	119.0	
415.6	250.0	224.2	104.0	
410.0	230.0	217.0	128.0	

Figure 5D The number of apoptotic cells detected in xenografts by TUNEL

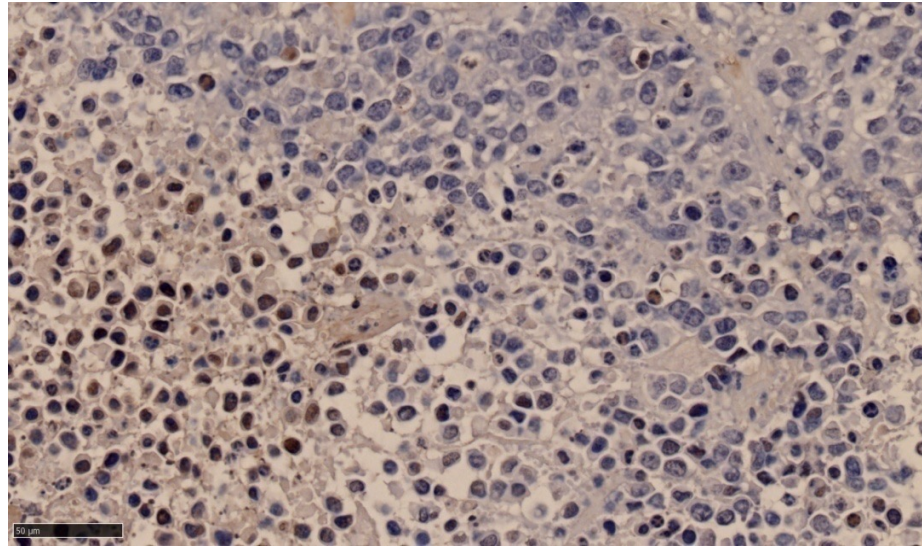
Ctrl



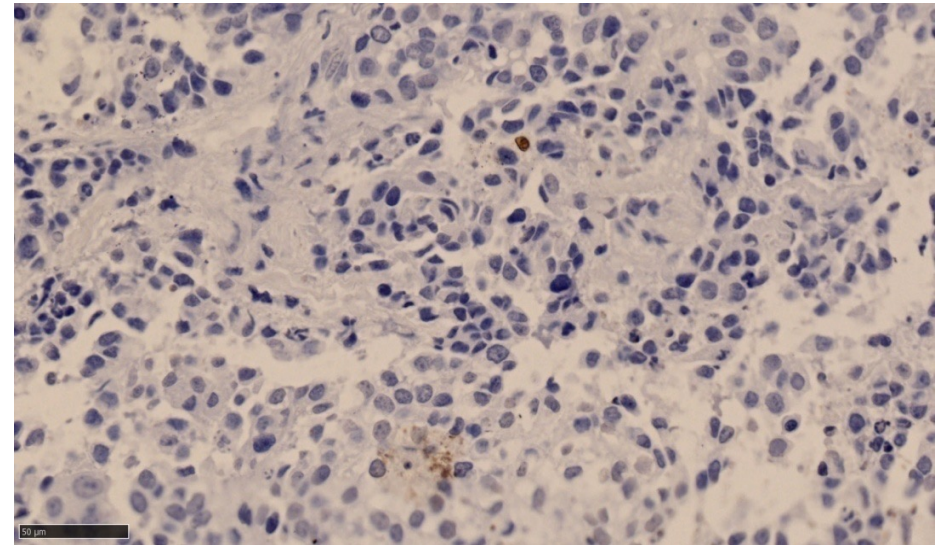
BI



5-FU



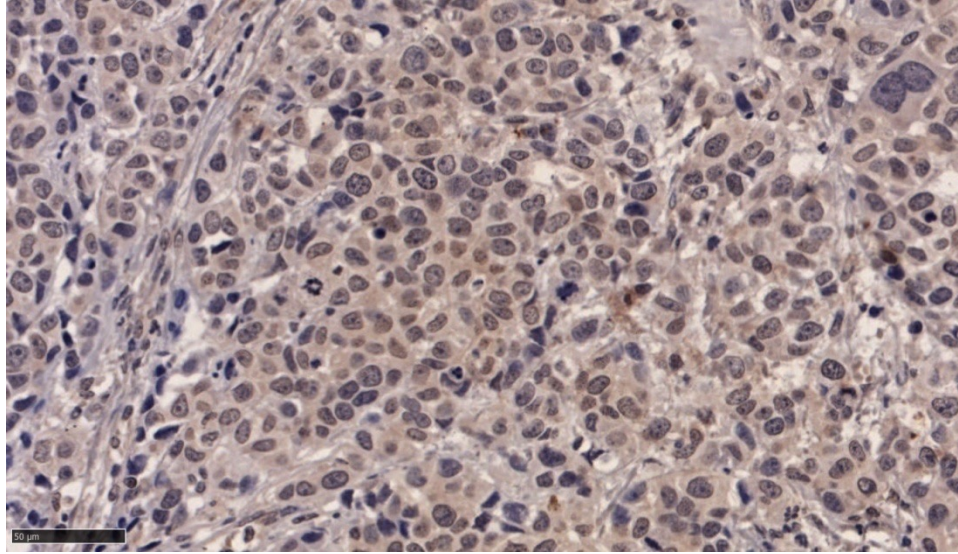
BI+5-FU



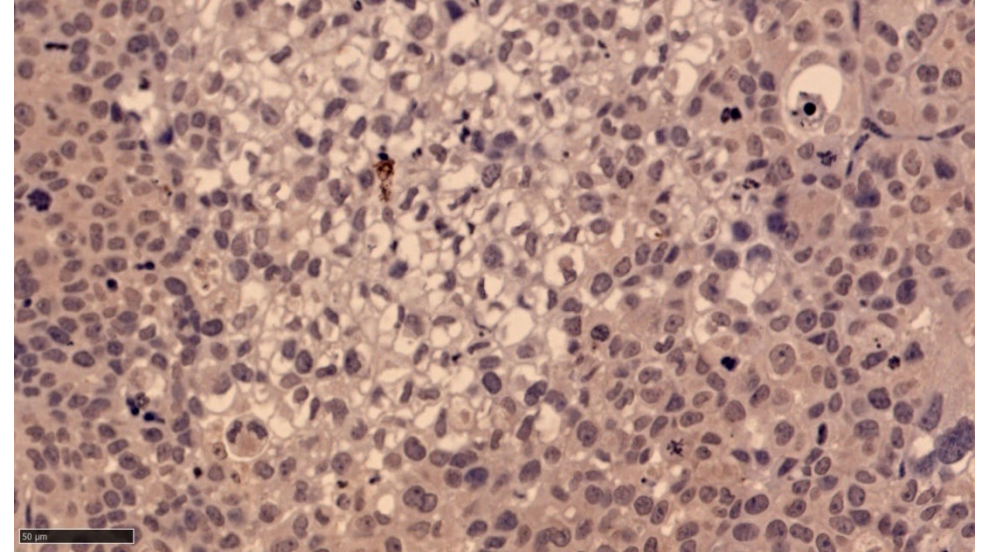
TUNEL 联合	右上	右下	中-3	左上	左下	左上2	左下2	中2	
2020-9-10 18.12.9上	31	32	35	67	31				39.2
2020-9-10 18.12.9下	22	47	24	23	21				27.4
2021-1-12 18.12.9 联合 1左	154	160	212	172	148	166			168.6667
2021-1-12 18.12.9 联合 2左	139	173	183	156	91	151			148.8333
2021-1-12 18.12.9 联合 2右	158	217	140	168	176		154		168.8333
2020-9-10 18.12.9 联合上									
2021-1-12 18.12.9 对照 左上	4	2	2	0	0	0			1.333333
2021-1-12 18.12.9 对照 右上	1	0	1	0	3		2		1.166667
2021-1-12 18.12.9 对照 左下	1	2	1	1	1		0		1
19-10-12 18.12.9对照 上	2	6	1	3	2				2.8
19-10-12 18.12.9对照 上-右	9	7	4	5	8			4	
19-10-12 18.12.9对照 下	1	1	3	2	2			4	2.166667
21-1-12 18.12.9 BI 上	7	6	7	8	15	6			8.166667
21-1-12 18.12.9 BI 下	16	6	13	8	7				10
20-10-12 上	14	10	8	9	9	7			9.5
20-10-12 下	10	22	14	9	9	12			12.66667
19-11-05 BI组 上	12	11	22	8	11				12.8
19-11-05 BI组 下	13	12	15	11	16	10	13	10	12.5
20-9-10 5-FU 18.12.9上	9	9	14	12	8				10.4
20-9-10 5-FU 18.12.9下	15	20	11	15	13				14.8
21-1-12 中	8	17	13	18	19				15
21-1-12 下	10	10	5	23	65				22.6

Figure 5E The expression of Bcl-2 proteins was detected in xenografts by IHC

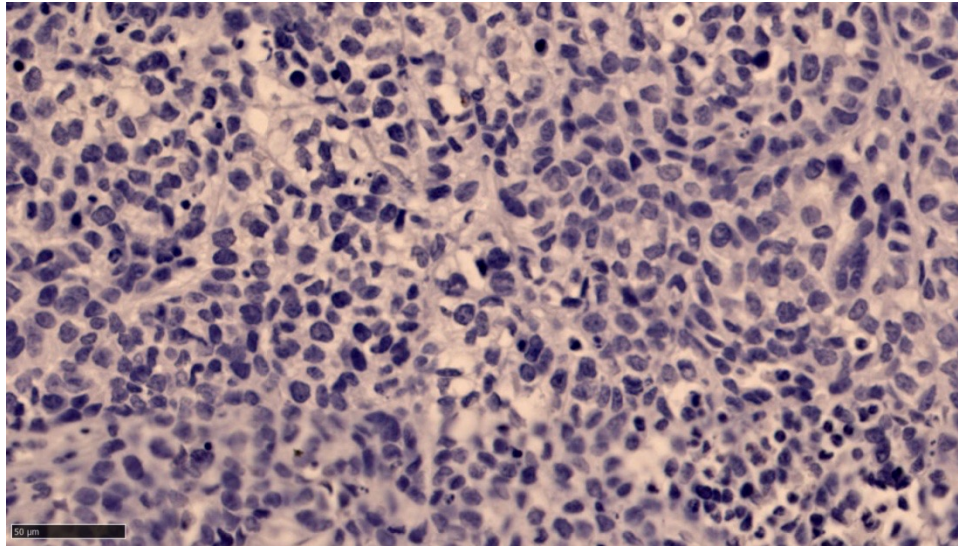
Ctrl



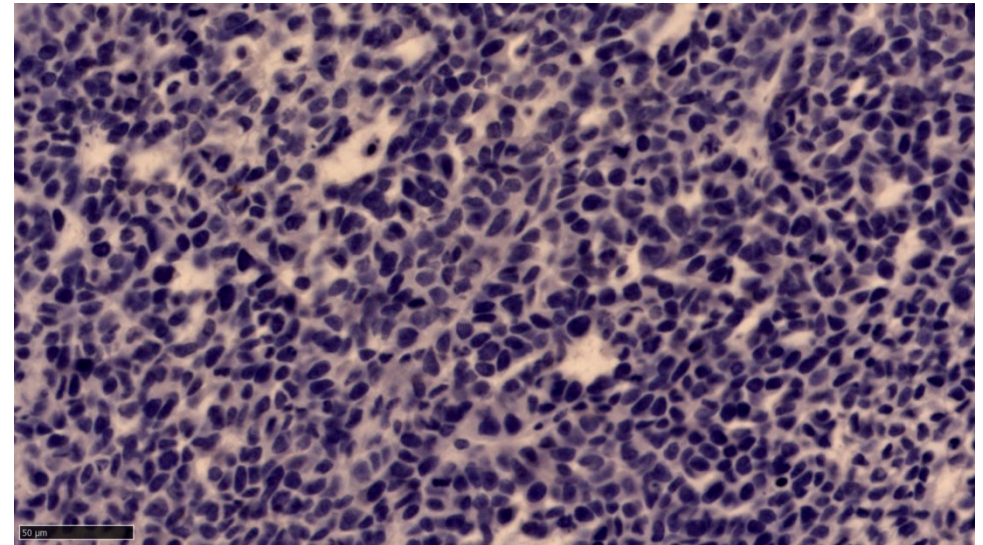
BI



5-FU



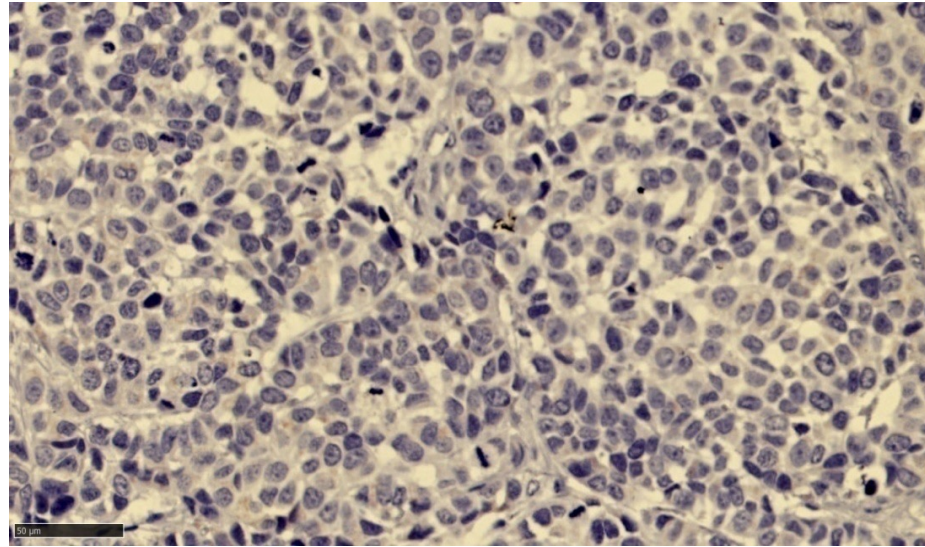
BI+5-FU



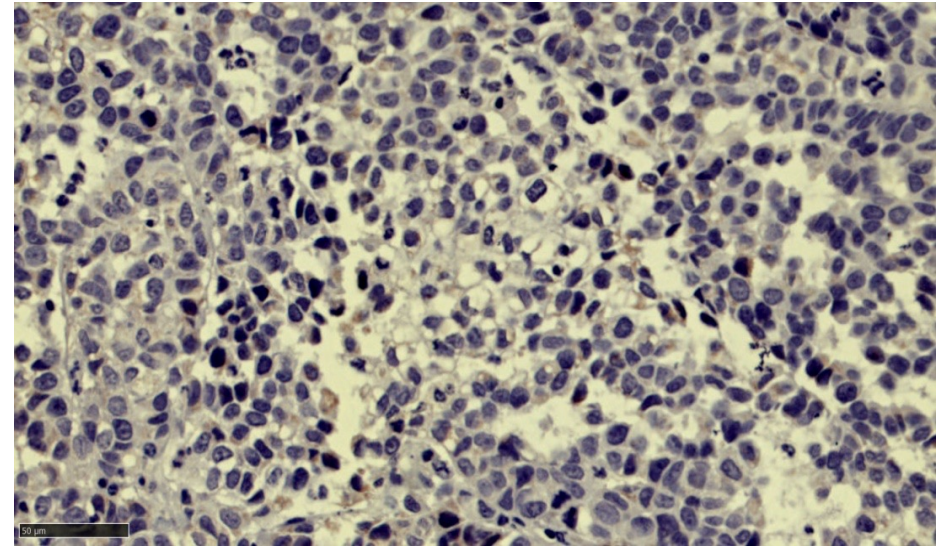
BCL-2			右上	右下	中	左上	左下	中2	
21.4.17	18.10.27	对照 BCL-2上	80	166	129	104	124	160	127.1667
21.4.17	18.10.27	对照 BCL-2右下	141	123	185	208	151	200	168
21.4.17	18.10.27	对照 BCL-2左下	111	115	155	140	93	120	122.3333
21.4.17	18.10.27	BI BCL-2上	39	70	78	85	54		65.2
21.4.17	18.10.27	BI BCL-2右下	29	40	28	63	66		45.2
21.4.17	18.10.27	BI BCL-2左下	82	90	140	41	64	62	79.83333
21.4.19	18.12.9	bcl-2 5-FU 左	8	11	30	21	8		15.6
21.4.19	18.12.9	bcl-2 5-FU 左下	22	14	10	24	20	12	17
21.6.30	18.12.9	bcl-2 5-FU 右	34	17	21	33	38		28.6
21.6.30	18.12.9	bcl-2 5-FU 左	47	16	31	58	40		38.4
21.4.17	18.10.27	联合 BCL-2上	0	0	1	0	0		0.2
21.4.17	18.10.27	联合 BCL-2右下	1	1	0	0	0		0.4
21.4.17	18.10.27	联合 BCL-2左下	0	0	1	0	0		0.2
21.6.24	18.12.9	联合 Bcl-2左	0	3	1	0	2		1.2

Figure 5F The expression of Bax proteins was detected in xenografts by IHC

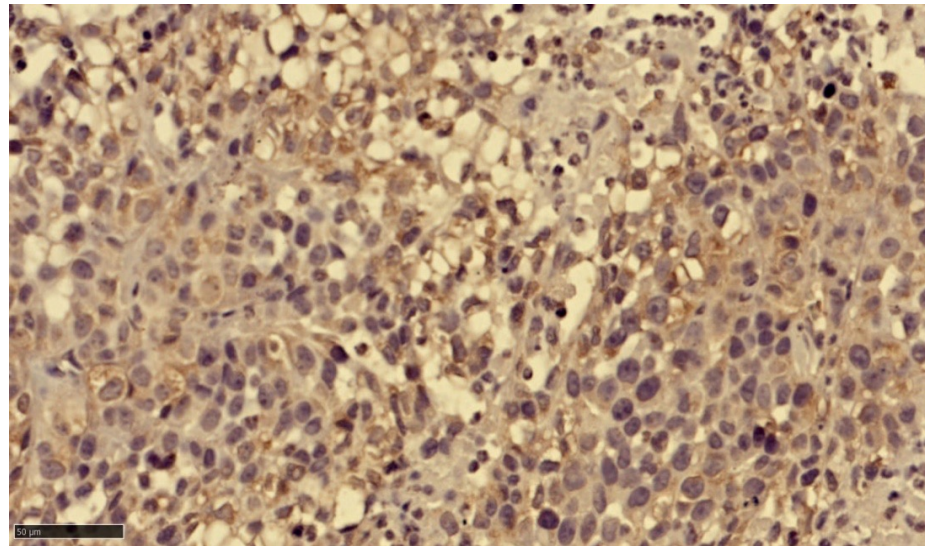
Ctrl



BI



5-FU



BI+5-FU

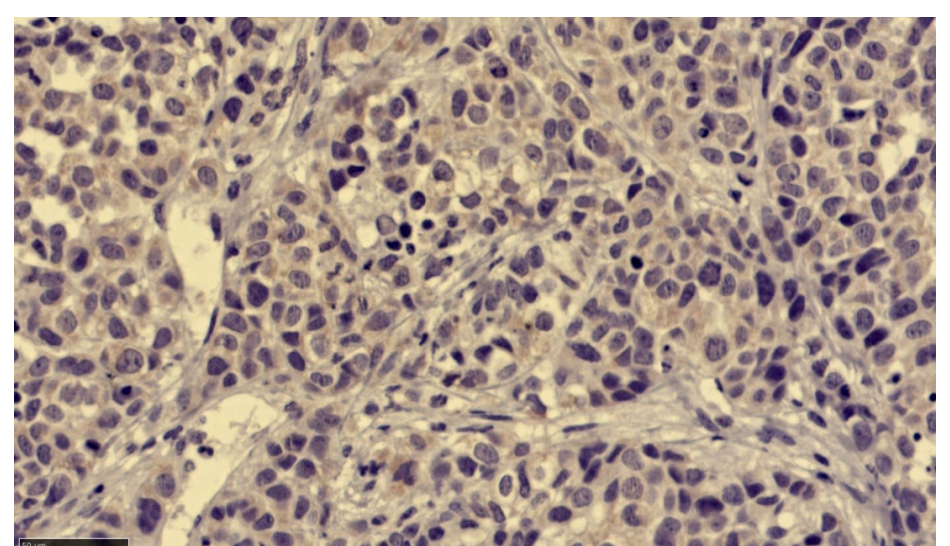
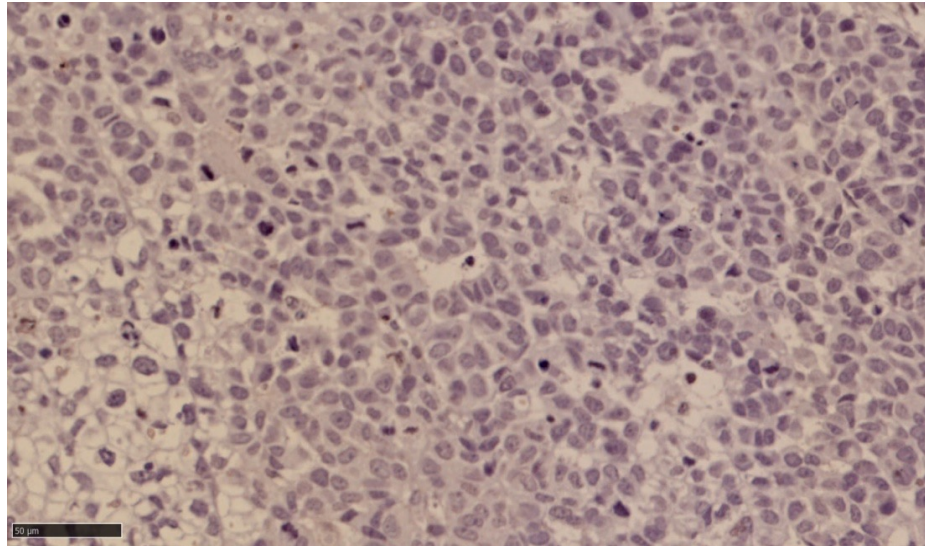




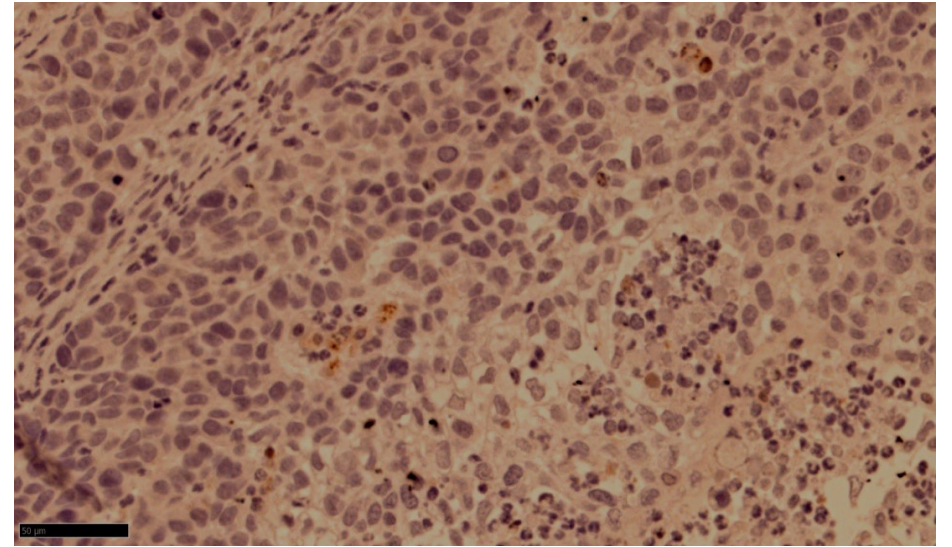


Figure 5G The expression of Cleaved caspase-3 proteins was detected in xenografts by IHC

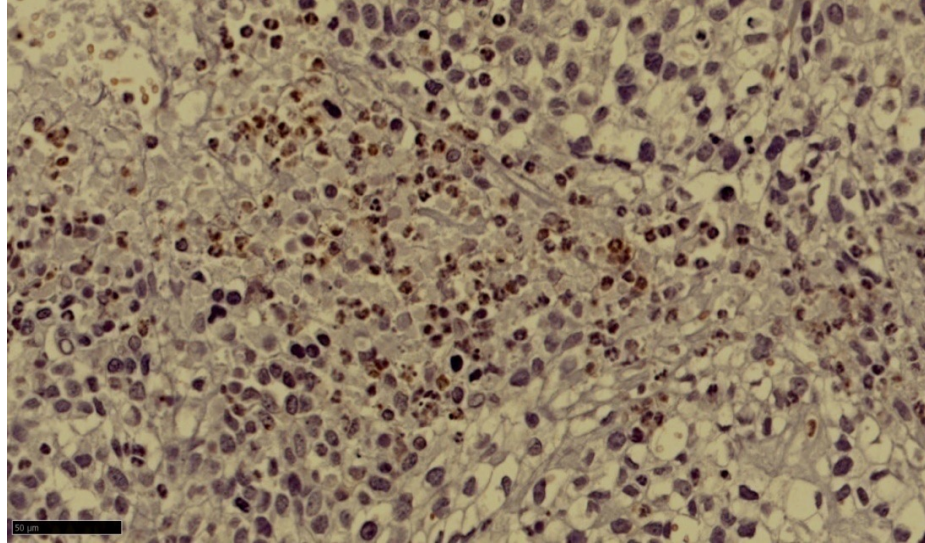
Ctrl



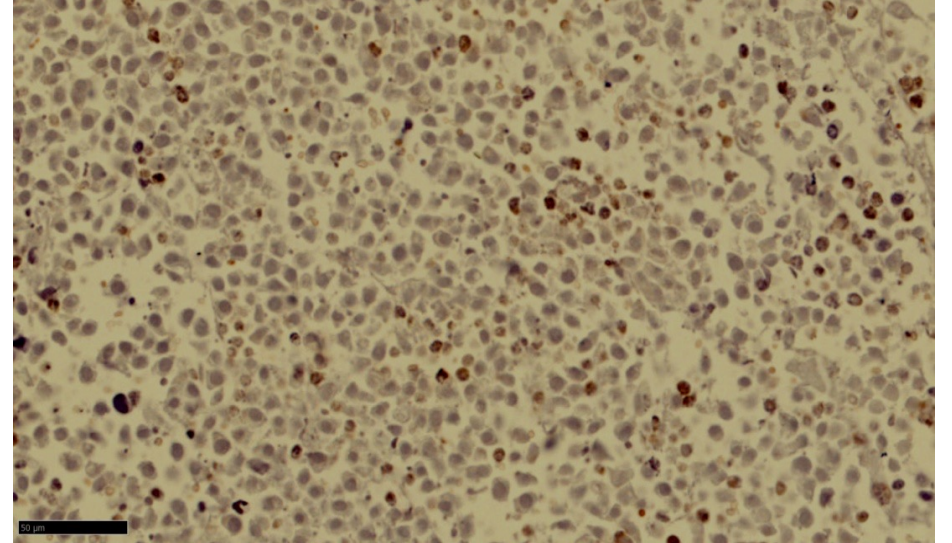
BI




5-FU



BI+5-FU



caspase3		右上	右下	中	左上	左下	中2		
18.12.9	19.9.27caspase3 联合 1 右	 95	94	124	113	67	65		93
18.12.9	19.9.27caspase3 联合 1 左	71		62	78	66	64		68.2
18.12.9	19.9.27caspase3 联合 右上	95	85	88	89	81	71		84.83333
18.12.9	21.6.24caspase3 联合 右	35	31	39	42	28			35
18.12.9	21.6.24caspase3 联合 左	27	25	22	15	21			22
19.9.22	18.11.21 4组 BI 2 caspase3	5	7	12	12	16	11		10.5
19.9.22	18.11.21 4组 BI 2 caspase3	6	7	7	7	9	8		7.333333
19.9.22	18.11.21 BI caspase3 右	14	6	8	11	5			8.8
19.9.22	18.11.21 BI caspase3 左2	5	6	14	5	4	7		6.833333
19.9.22	18.11.21 BI caspase3 左上	9	5	10	8				8
21.4.23	18.12.9 5-FU caspase3上	10	11	15	7	9			10.4
21.4.23	18.12.9 5-FU caspase3下	8	6	8	7	6	6		6.833333
21-6-24	18-12-9 5-FUcaspase3右	18	16	20	13	8			15
21-6-24	18-12-9 5-FUcaspase3左	16	11	11	15		9		12.4
19.9.22	18.11.21 对照 caspase3上	0	0	1	0	2	0		0.5
19.9.22	18.11.21 对照 caspase3右	2	0	0	0	1	0		0.5
19.9.22	18.11.21 对照 caspase3中	0	0	1	0	0	0		0.166667
21-4-23	18.11.21 对照caspase3 上	0	1	0	0	0	0		0.166667
21-4-23	18.11.21 对照caspase3 右上	0	0	1	0	0	0		0.166667

**Figure 6C** The changes of pGSK-3 $\beta$  protein expression in SGC-7901 cells by immunofluorescence assay

